

АНИСИМОВ Антон Николаевич

МАТЕМАТИЧЕСКОЕ ОПИСАНИЕ ПОЛЕЙ ДЕФОРМАЦИЙ  
ЖЕСТКОПЛАСТИЧЕСКИХ ТЕЛ ПРИ УСЛОВИИ ПЛАСТИЧНОСТИ  
КУЛОНА – МОРА

01.02.04 – механика деформируемого твердого тела

Автореферат  
диссертации на соискание ученой степени  
кандидата физико-математических наук



Владивосток – 2010

Работа выполнена в Самарском государственном аэрокосмическом университете имени академика С.П. Королева и в Амурском гуманитарно-педагогическом государственном университете.

Научный руководитель: доктор физико-математических наук,  
профессор, заслуженный деятель науки РФ  
Хромов Александр Игоревич

Официальные оппоненты: доктор физико-математических наук,  
профессор Олейников Александр Иванович  
  
кандидат физико-математических наук  
Рагозина Виктория Евгеньевна

Ведущая организация: Сибирский государственный аэрокосмический  
университет имени академика М.Ф. Решетнёва  
(г. Красноярск)

Защита состоится «06» мая 2010 года в 11<sup>30</sup> часов на заседании диссертационного  
совета ДМ005.007.02 в Институте автоматики и процессов управления ДВО РАН по  
адресу: 690041, г. Владивосток, ул. Радио, 5, ауд. 510.

E-mail: dm00500702@iacp.dvo.ru

С диссертацией можно ознакомиться в библиотеке Института автоматики и  
процессов управления ДВО РАН.

Автореферат разослан «  » апреля 2010 года.

Ученый секретарь  
диссертационного совета  
к.ф.-м.н.



Дудко О.В.

## ОБЩАЯ ХАРАКТЕРИСТИКА РАБОТЫ

Актуальность темы. Исследование поведения материала при больших пластических деформациях в разнообразных конструкциях и технологических процессах можно считать одной из основных задач механики деформируемого твердого тела. Определение степени деформируемости материала с учетом необратимой пластической сжимаемости в рамках модели идеального жесткопластического тела является одним из возможных путей решения таких задач.

Фундаментальные исследования в области идеальной пластичности связаны с именами ученых А. Треска, Б. Сен-Венана, М. Леви, Р. Мизеса, Л. Прандтля, Д. Друккера, В. Прагера, Х. Гейрингер, А. Райса, Р. Хилла, Г. Генки, Е. Оната, Е. Ли и др.

Значительный вклад в создание теории и решение задач идеальной пластичности внесли отечественные ученые Б.Д. Аннин, Г.И. Быковцев, Б.А. Друянов, А.Ю. Ишлинский, Д.Д. Ивлев, В.П. Мясников, Ю.Н. Работнов, В.В. Соколовский, С.А. Христианович и др.

В рамках теории идеального жесткопластического тела анализ деформаций связан с решением задач, в которых учитывается изменение геометрии деформируемого тела. Это обусловлено тем, что пластические деформации распределяются крайне неравномерно, наблюдаются в основном в окрестности особенностей поля скоростей перемещений (на линиях разрыва скоростей перемещений и в центре веера характеристик) и могут достигать больших значений, которые значительно превышают деформации в непрерывном пластическом поле и могут привести к разрушению материала.

Использование в качестве меры деформации тензорных характеристик (тензора дисторсии, тензора конечных деформаций Альманси и т.п.) и учет необратимой пластической сжимаемости материала позволяет корректно описывать процесс деформирования.

Исследование полей деформаций в технологических процессах (выглаживание поверхности, резание материалов и т.д.) с учетом необратимой сжимаемости позволяет выявить особенности поведения материалов под давлением, а также определить зависимость характеристик разрушения материалов от изменения плотности.

Целью работы является исследование полей деформаций в окрестности особенностей поля линий скольжения в условиях плоской деформации для классических задач теории пластичности с учетом необратимой сжимаемости.

Научная новизна работы заключается в следующем:

– метод определения деформаций в окрестности особенностей поля линий скольжения (линии разрыва поля скоростей перемещений и в центре веера характеристик) обобщен на случай учета необратимой сжимаемости;

– исследованы поля деформаций в окрестности особенностей линий скольжения для классических задач теории пластичности при условии текучести Кулона – Мора.

Достоверность полученных результатов основана на классических подходах механики сплошных сред и строгих математических выкладках, подтверждается согласованностью в предельном случае с решениями, полученными А.И. Хромовым и А.А. Буханько для несжимаемого идеального жесткопластического тела.

Практическая значимость работы. Решенные задачи актуальны при разработке математических моделей поведения реальных материалов при больших пластических деформациях с учетом необратимой сжимаемости. Полученные поля деформаций могут быть использованы при анализе технологических процессов обработки материалов давлением (прессование, волочение, прокатка) и резанием, для проектирования оборудования, используемого при этих процессах, в строительстве и т.д.

Апробация работы. Результаты работы докладывались на:

– XXVII Дальневосточной школе-семинаре им. академика Е.В. Золотова, Владивосток, 2002 г.;

– Международном форуме по проблемам науки, техники и образования «III Тысячелетие – новый мир», Москва, 2002 г.;

– 42-ой научно-практической конференции молодых ученых, аспирантов и студентов, посвященной 70-летию г. Комсомольска-на-Амуре, Комсомольск-на-Амуре, 2003 г.;

– IV Всероссийском симпозиуме по прикладной и промышленной математике (осенняя сессия), Петрозаводск, 2003 г.;

– Всероссийском школе-семинаре по современным проблемам механики деформируемого твердого тела, Новосибирск, 2003 г.;

– IX Всероссийском симпозиуме по прикладной и промышленной математике (весенняя сессия), Кисловодск, 2008 г.;

– Шестой Всероссийской конференции «Математическое моделирование и краевые задачи», Самара, 2009 г.

Работа в целом докладывалась на объединенном семинаре «Механика сплошных сред» в Институте автоматизации и процессов управления ДВО РАН.

Публикации по работе. По теме диссертации опубликовано 10 научных работ.

Структура и объем работы. Диссертация состоит из введения, четырех глав, заключения и списка литературы (106 наименований). Объем работы – 138 страниц, в том числе 55 рисунков.

## СОДЕРЖАНИЕ РАБОТЫ

Во введении показана актуальность поставленной проблемы, проанализированы вопросы исследования плоского деформированного состояния, представлено содержание диссертации по главам.

В первой главе представлены основные соотношения теории плоской деформации идеального сжимаемого жесткопластического тела.

В первых двух параграфах приводятся основные положения теории: полная система уравнений теории плоской деформации, общие соотношения вдоль характеристик для условия пластичности Кулона – Мора

$$\frac{1}{4}(\sigma_{11} - \sigma_{22})^2 + \sigma_{12}^2 = (k + \frac{\sin \varphi}{2}(\sigma_{11} + \sigma_{22}))^2, \quad (1)$$

где  $k$ ,  $\varphi$  – постоянные, характеризующие исследуемую среду,  $\sigma_{ij}$  – компоненты тензора напряжений.

В третьем параграфе приведены условия построения полного решения задач, получены необходимые и достаточные условия построения статически допустимого продолжения поля напряжений в жесткие области при условии пластичности Кулона – Мора.

Достаточное условие построения свободной поверхности  $\Sigma$  определяется неравенством

$$\gamma' \leq \gamma. \quad (2)$$

Угол  $\gamma'$  (рис. 1) определяет положение свободной поверхности в окрестности точки  $S$  и вычисляется из уравнений

$$|q| = \frac{k}{\sin \varphi} \left( 1 - \frac{1 - \sin \varphi}{1 + \sin \varphi} e^{2 \operatorname{tg} \varphi \left( \frac{\pi}{2} - \gamma' \right)} \right), \quad \gamma' \geq \pi / 2,$$

$$|q| = \frac{2k(1 + \cos(\gamma' - 2\alpha))}{1 + \sin^2 \varphi + 2 \sin \varphi \cdot \cos(\gamma' - 2\alpha)}, \quad \gamma' \leq \pi / 2,$$

где  $2\alpha = \arcsin(\sin \varphi \cdot \sin \gamma') + \pi$ ,  $q$  – нормальное давление, действующее на клин  $ASM$ .

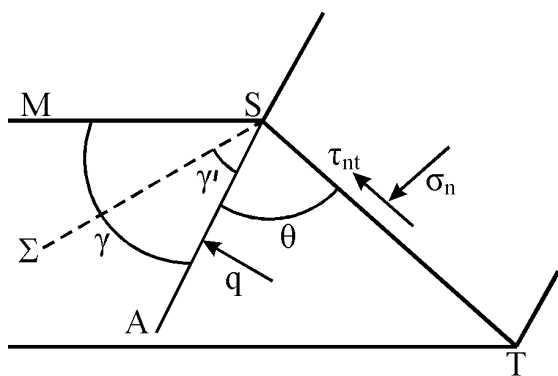


Рис. 1

Необходимым условием существования продолжения поля напряжений в жесткую область  $MST$  будет неравенство

$$ctg(\gamma + \theta) \leq -\frac{\sigma_n}{\tau_{nt}}, \quad (3)$$

где  $\sigma_n$  – нормальное напряжение,  $\tau_{nt}$  – касательное напряжение, действующее на жесткопластической границе  $ST$ .

В четвертом параграфе обобщен метод определения деформаций в окрестности особенностей поля линий характеристик (линии разрыва скоростей перемещений и центра веера характеристик) с учетом необратимой сжимаемости.

В качестве меры деформации принят тензор конечных деформаций Альманси:

$$E_{ij} = \frac{1}{2}(\delta_{ij} - x_{k,i}^0 x_{k,j}^0) \text{ или } E = \frac{1}{2}(I - AA^*), \quad (4)$$

где  $A = [a_{ij}] = [x_{j,i}^0]$  – тензор дисторсии.

На основании геометрических и кинематических условий совместности Адамара – Томаса на поверхности разрыва скоростей перемещений, главные значения  $E_1, E_2$  тензора Альманси и угол  $\theta$  между первым главным направлением тензора конечных деформаций и касательной к поверхности разрыва будут определяться из соотношений:

$$E_{1,2} = \frac{1}{4}(1 - W_1^2 - (1 - W_2)^2) \pm \frac{1}{2}\sqrt{\frac{1}{4}(1 - W_1^2 - (1 - W_2)^2)^2 + W_1^2},$$

$$tg 2\theta = \frac{2W_1}{1 - W_1^2 - (1 - W_2)^2}. \quad (5)$$

Абсолютные значения величин  $W_1 = [V_t]/(G + V_n^+)$ ,  $W_2 = [V_n]/(G + V_n^+)$  имеют физический смысл, соответственно, объемных плотностей энергии сдвиговых и объемных деформаций, отнесенных к величине  $k$ , получаемой материальной частицей при пересечении поверхности разрыва. Здесь  $[V_t]$  – величина разрыва касательной компоненты скорости;  $[V_n]$  – величина разрыва нормальной компоненты скорости;  $V_n^+$  – нормальная скорость движения частиц на поверхности разрыва в пластической области;  $G$  – нормальная скорость распространения поверхности разрыва скоростей перемещений.

Изменение плотности среды в результате деформации определяется соотношением

$$\rho_c = \sqrt{(1 - 2E_1)(1 - 2E_2)}\rho_c^0,$$

где  $\rho_c^0$  – начальная плотность.

Изменение компонент тензора дисторсии с течением времени определяется уравнением:

$$\frac{da_{ij}}{dt} = \frac{\partial a_{ij}}{\partial t} + \frac{\partial a_{ij}}{\partial x_k} V_k + a_{kj} \frac{\partial V_k}{\partial x_i} = 0, \quad k = 1, 2, \quad (6)$$

где  $\frac{d}{dt} = \frac{\partial}{\partial t} + V_i \frac{\partial}{\partial x_i}$  – материальная производная по времени. Для определения поля деформаций в окрестности центра веера характеристик  $\eta$ , используется преобразованная система уравнений (6):

$$\begin{aligned} \frac{da_{11}}{d\xi} \bar{A} + (-a_{11} \sin(\psi - \delta) + a_{21} \cos(\psi - \delta)) \sin(\psi + \delta) &= 0, \\ \frac{da_{12}}{d\xi} \bar{A} + (-a_{12} \sin(\psi - \delta) + a_{22} \cos(\psi - \delta)) \sin(\psi + \delta) &= 0, \\ \frac{da_{21}}{d\xi} \bar{A} + (a_{11} \sin(\psi - \delta) - a_{21} \cos(\psi - \delta)) \cos(\psi + \delta) &= 0, \\ \frac{da_{22}}{d\xi} \bar{A} + (a_{12} \sin(\psi - \delta) - a_{22} \cos(\psi - \delta)) \cos(\psi + \delta) &= 0, \\ \bar{A} &= \frac{\bar{u} - \bar{v} \sin \varphi - a' \sin(\psi + \delta) + b' \cos(\psi + \delta)}{\frac{\partial \bar{v}}{\partial \xi} - \frac{1}{2} \operatorname{tg} \varphi \cdot \bar{v} + \frac{1}{2 \cos \varphi} \bar{u}}, \end{aligned} \quad (7)$$

где  $\bar{u}$ ,  $\bar{v}$  – проекции вектора скорости на характеристики  $\xi$  и  $\eta$ ;  $a'$ ,  $b'$  – компоненты скорости движения центра веера характеристик,  $\psi = (\xi + \eta_0)/2$ ,  $\delta = \pi/4 - \varphi/2$ . Аналогично записывается система дифференциальных уравнений для веера линий характеристик второго семейства.

Во второй главе рассмотрены пластические течения с учетом изменения геометрии тела в процессе деформирования клинообразных и плоских штампов. Получены поля деформаций в окрестности особенностей поля линий характеристик для случая  $\varphi = 10^\circ$ . В предельном случае ( $\varphi = 0^\circ$  – несжимаемый материал) поля деформаций совпадают с полями, полученными в работах А.И. Хромова и А.А. Буханько.

В первом параграфе решена задача о внедрении клина с полным углом раствора  $2\gamma$  в жесткопластическое полупространство (рис. 2).

Для случая  $\varphi = 10^\circ$ , до значения угла  $\gamma \approx 59.1^\circ$  наибольшие деформации (максимальное увеличение плотности среды) наблюдаются в центре веера

характеристик  $A_1PA_2$ , при  $\gamma > 59.1^\circ$  – на линии разрыва скоростей перемещений  $A_0A_1A_2A_3$ .

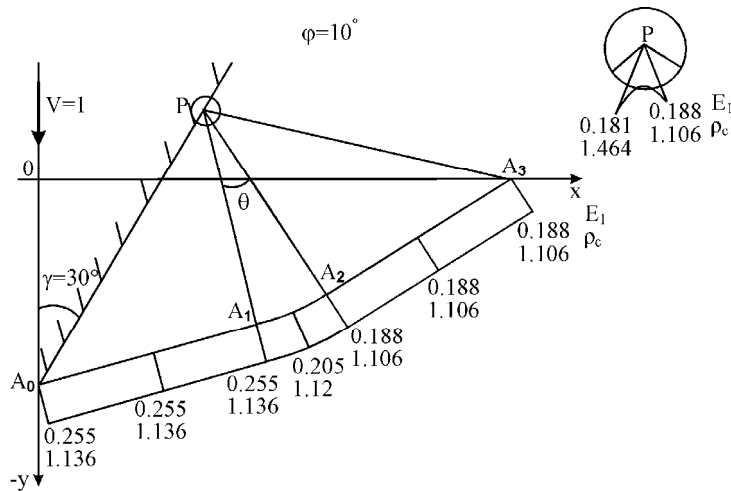


Рис. 2

Во втором параграфе рассматривается задача о сжатии плоским гладким штампом жесткопластического клина с углом наклона  $\alpha$ . Определены поля деформаций в окрестности особенностей поля линий характеристик для решения Хилла (рис. 3, а) и решения Прандтля (рис. 3, б).

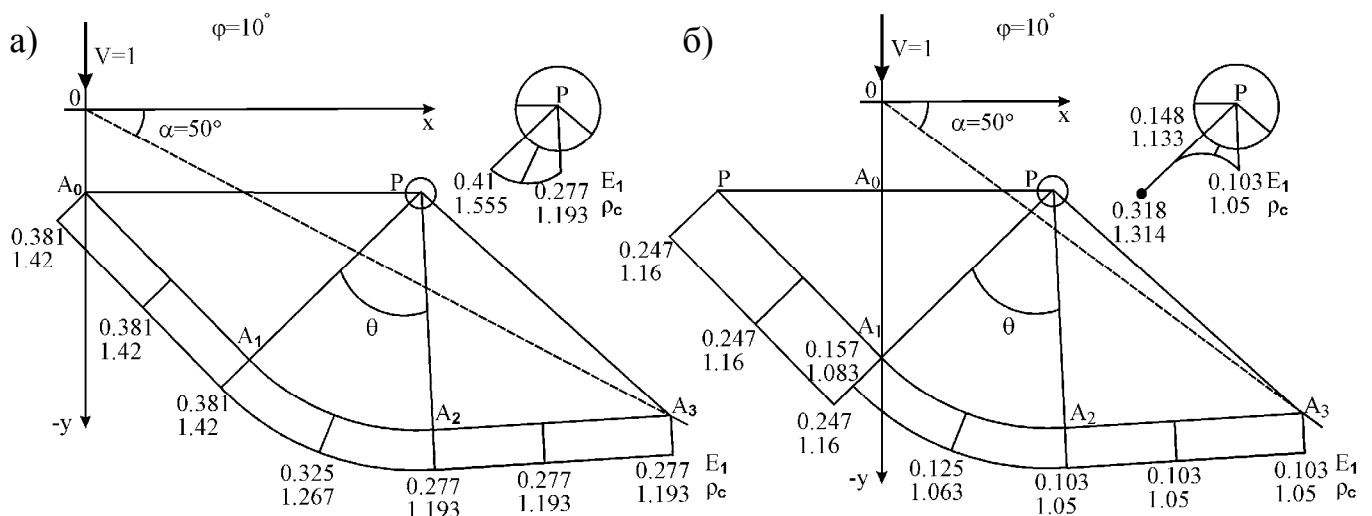


Рис. 3

Для случая  $\varphi = 10^\circ$  наибольшие деформации наблюдаются: по схеме Хилла до значения угла  $\alpha \approx 42.3^\circ$  – на линии разрыва скоростей перемещений  $A_0A_1A_2A_3$ , при  $\alpha > 42.3^\circ$  – в центре веера характеристик; по схеме Прандтля – в окрестности центра веера характеристик (с учетом перехода линии разрыва  $A_1P$ ). Исследования показали, что предпочтительным является решение Прандтля, так как в этом случае для любого угла раствора клина  $\gamma = \pi/2 - \alpha$  наибольшие деформации являются минимальными как на линии разрыва скоростей перемещений, так и в окрестности центра веера характеристик.



В третьем параграфе рассмотрена задача о сжатии усеченного клина  $y = ax + b$  ( $a = -ctg\gamma$ ) гладким плоским штампом с начальной шириной усечения  $A_0P = -b/a$ . В этом случае движение материала начинается не из точки, а пластическое состояние возникает сразу в конечной области. Часть подвижной границы, которая в начальный момент времени приходит в движение, в последующем поступательно перемещается. Исследованы поля деформаций в окрестности особенностей поля линий характеристик в начальный момент времени для угла раствора клина  $2\gamma = 60^\circ$  по схеме Хилла (рис. 4, а) и схеме Прандтля (рис. 4, б). Наибольшие деформации минимальны в решении Прандтля.

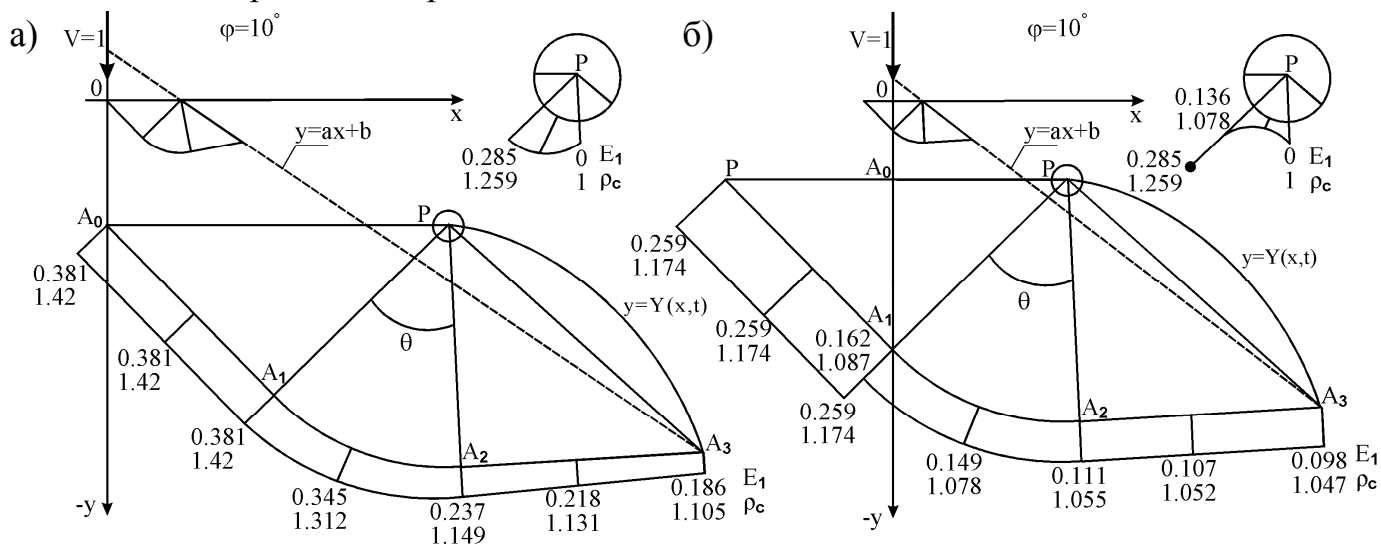


Рис. 4

В третьей главе рассмотрены технологические задачи теории пластического течения.

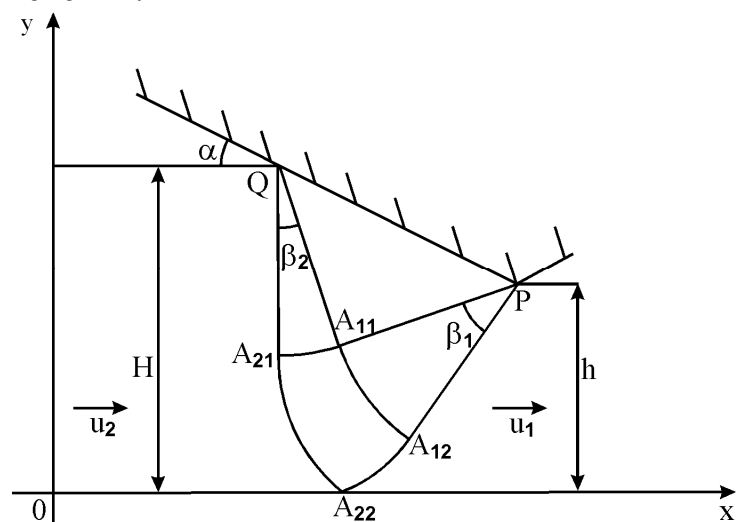


Рис. 5

В первом параграфе изучен установившийся процесс волочения полосы через короткую жесткую матрицу с углом наклона  $\alpha$  (рис. 5). Как и для случая несжимаемого материала, величина  $2kh$  равна предельной нагрузке при одноосном растяжении гладкой полосы шириной  $h$ . Волочение осуществимо, если усилие волочения  $p < 2kh$  (иначе произойдет разрыв правой части

полосы), откуда следует, что для  $\varphi = 10^\circ$  величина угла  $\alpha < 34.365^\circ$ .

На рис. 6 представлены графики значений деформаций на выходе из пластической области в окрестности точки  $A_{22}$  (сплошная линия) и в окрестности центра веера характеристик  $A_{11}PA_{12}$  (пунктирная линия), в зависимости от обжатия  $r$  (рис. 6, а:  $\varphi = 0^\circ$ ; рис. 6, б:  $\varphi = 10^\circ$ ).

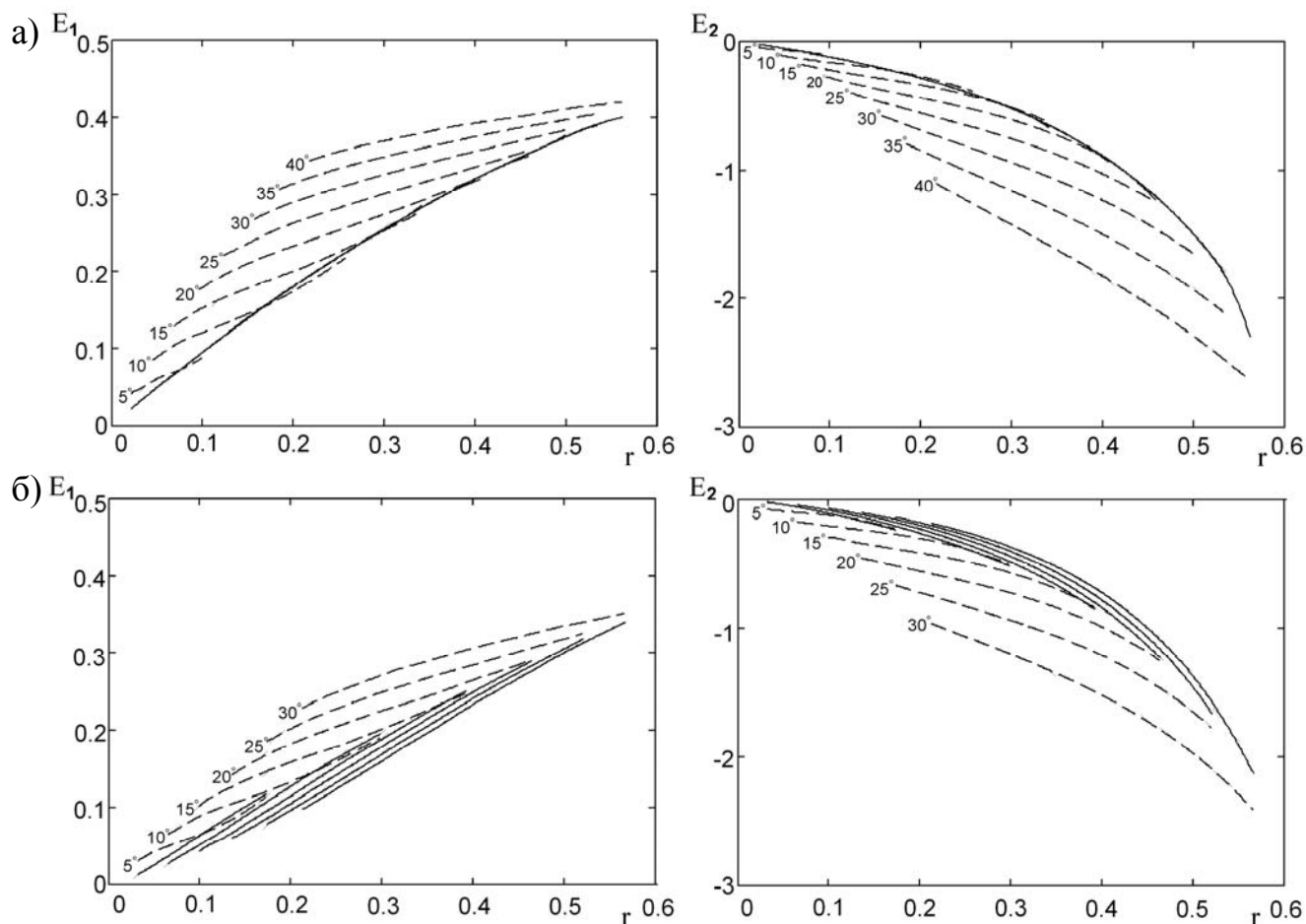


Рис. 6

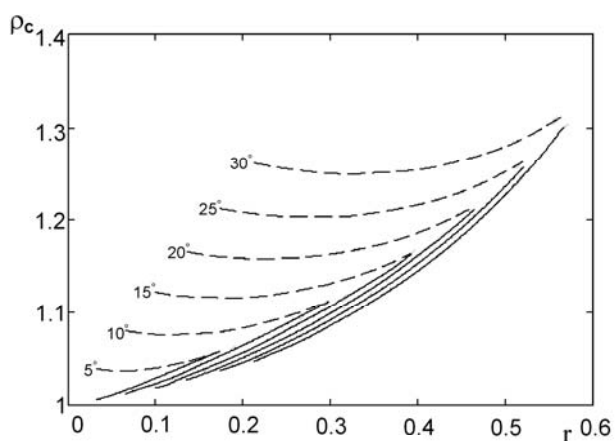


Рис. 7

На рис. 7 представлены графики изменения плотности материала  $\rho_c(r)$  при волочении полосы через короткую матрицу в окрестности особенностей поля скоростей перемещений.

Распределение деформаций в окрестности точки  $A_{22}$  (рис. 5) и в окрестности центра веера характеристик  $A_{11}PA_{12}$  позволяет оценить поле деформаций на выходе из пластической области в данном технологическом процессе.

Во втором параграфе рассмотрена задача о выглаживании гладким клинообразным штампом жесткопластической поверхности (рис. 8).

Анализ геометрии пластической области показывает, что глубина

выглаживания  $h > 0$  при условии  $\alpha < \pi/4 - \varphi/2$ .

Получено распределение поля деформаций на выходе из пластической области для различных значений угла  $5^\circ \leq \alpha \leq 30^\circ$  в зависимости от

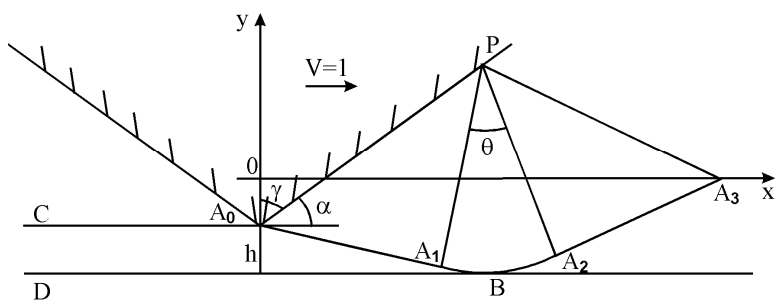


Рис. 8

угла  $\psi = \alpha$  в точке  $A_1$  до  $\psi = \delta$  в точке  $B$  (рис. 9, а:  $\varphi = 0^\circ$ ; рис. 9, б:  $\varphi = 10^\circ$ ).

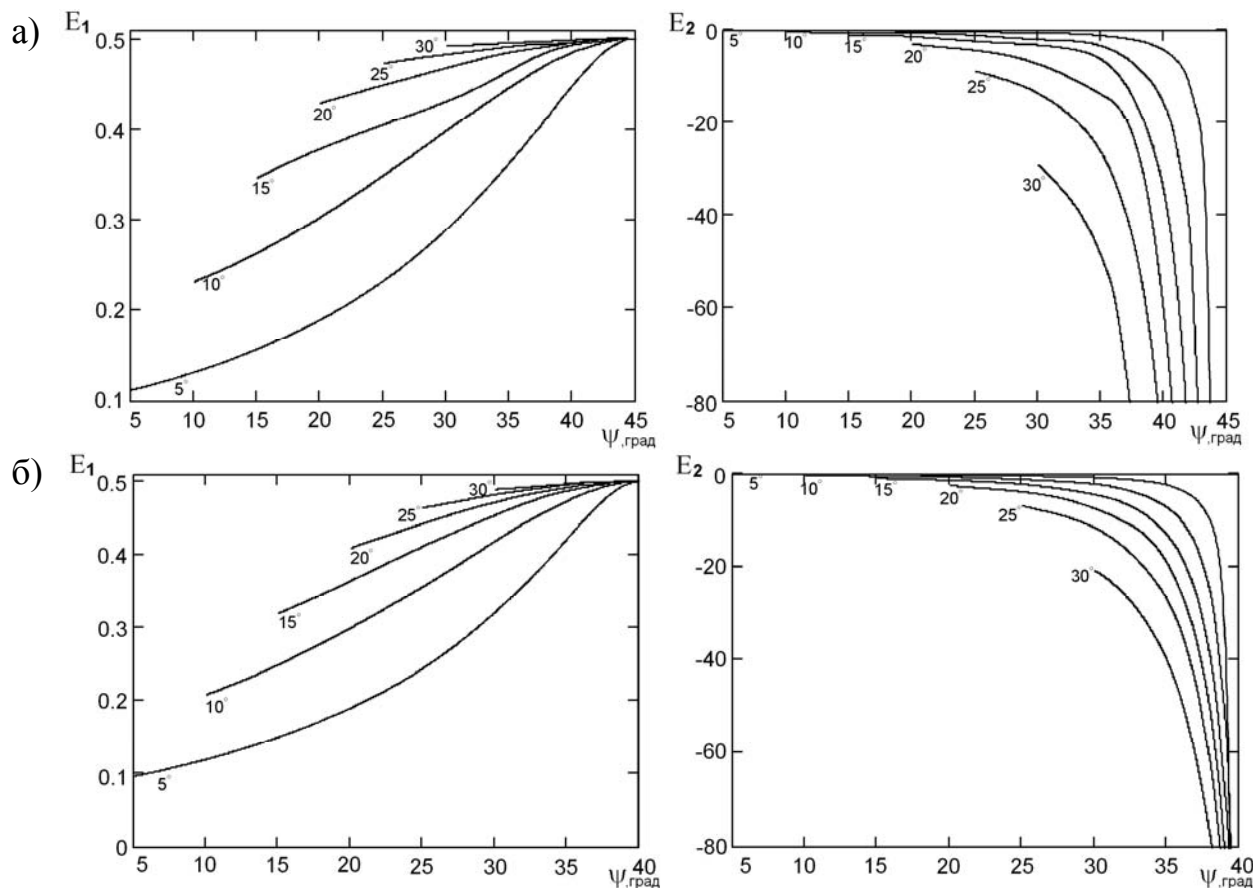


Рис. 9

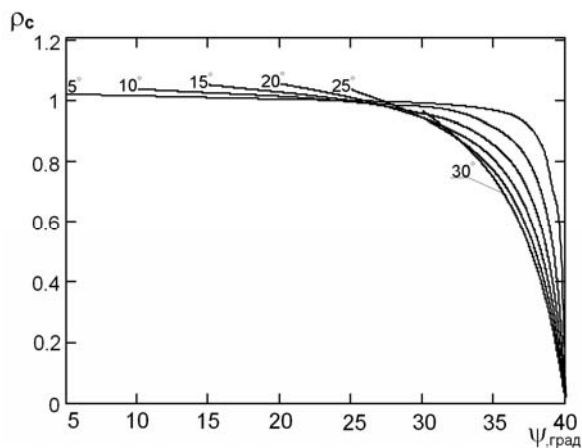


Рис.10

На рис. 10 представлен график изменения плотности среды в области  $CA_0A_1BD$  для  $\varphi = 10^\circ$ . Из графиков рис. 10 следует, что для угла  $\alpha = 30^\circ$  происходит разуплотнение среды при выглаживании. В остальных случаях сначала происходит уплотнение, а затем по мере приближения к точки  $B$  происходит разуплотнение среды.

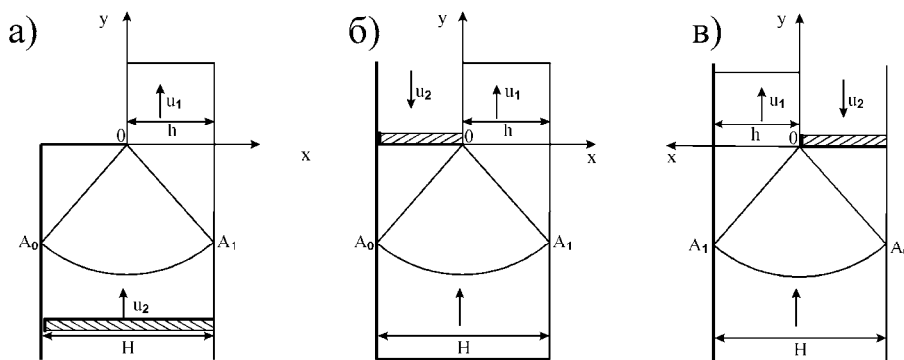


Рис. 11

В третьем параграфе рассмотрены задачи о прессовании и прошивке материала гладким прямоугольным инструментом. Исследовался случай, когда поле характеристик представлено в виде центрированного веера (рис. 11, а – прямое прессование; рис. 11, б – обратное прессование; рис. 11, в – прошивка). Радиус обжатия в этом случае определяется соотношением  $r = ctg \delta / (ctg \delta + e^{-\pi/2 \cdot tg \varphi})$ .

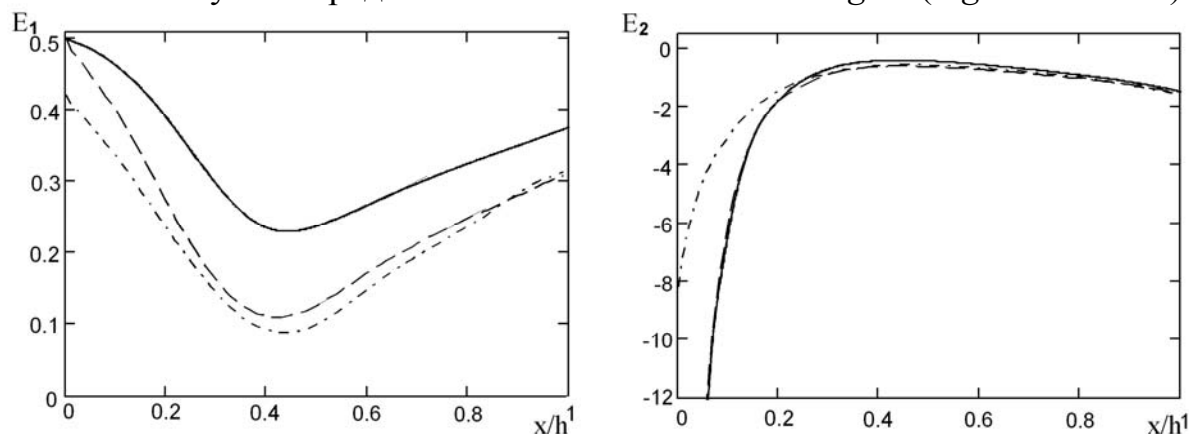


Рис. 12

Распределение поля деформаций на выходе из пластической области представлено на рис. 12. Для несжимаемого материала (сплошная линия на рис. 12) распределение деформаций одинаково для прессования и прошивки. В случае сжимаемого материала ( $\varphi = 10^\circ$ ) деформации для прямого прессования (пунктирная линия на рис. 12) больше, чем для обратного прессования и прошивки, которые совпадают (штрихпунктирная линия на рис. 12).

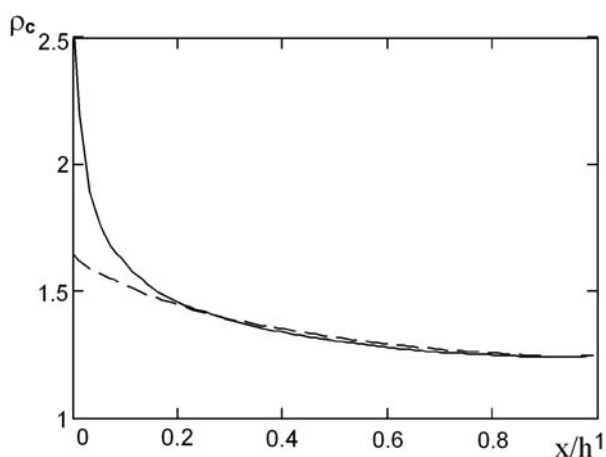


Рис. 13

Графики изменения плотности деформированного материала при данных технологических процессах представлены на рис. 13 (сплошная линия – прямое прессование; пунктирная линия – обратное прессование и прошивка).

В четвертой главе решена задача о резании жесткопластических тел в предположении, что существует изолированная линия скольжения  $ST$  (рис. 14), на которой выполняется условие пластичности Кулона – Мора.

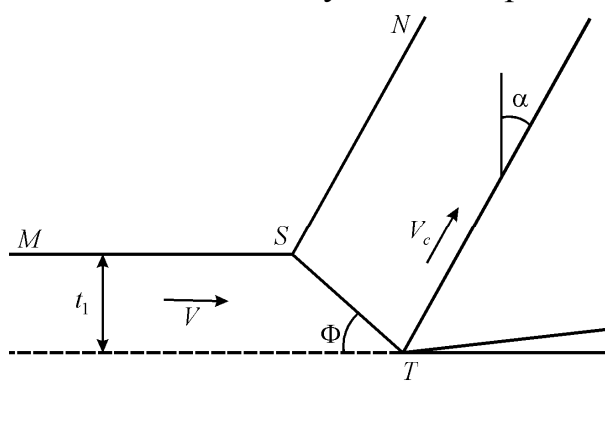


Рис. 14

На основании необходимых (3) и достаточных условий (2) исследована полнота решения задачи с точки зрения возможности построения статически допустимого продолжения поля напряжений в жесткие области (в тело заготовки и стружку).

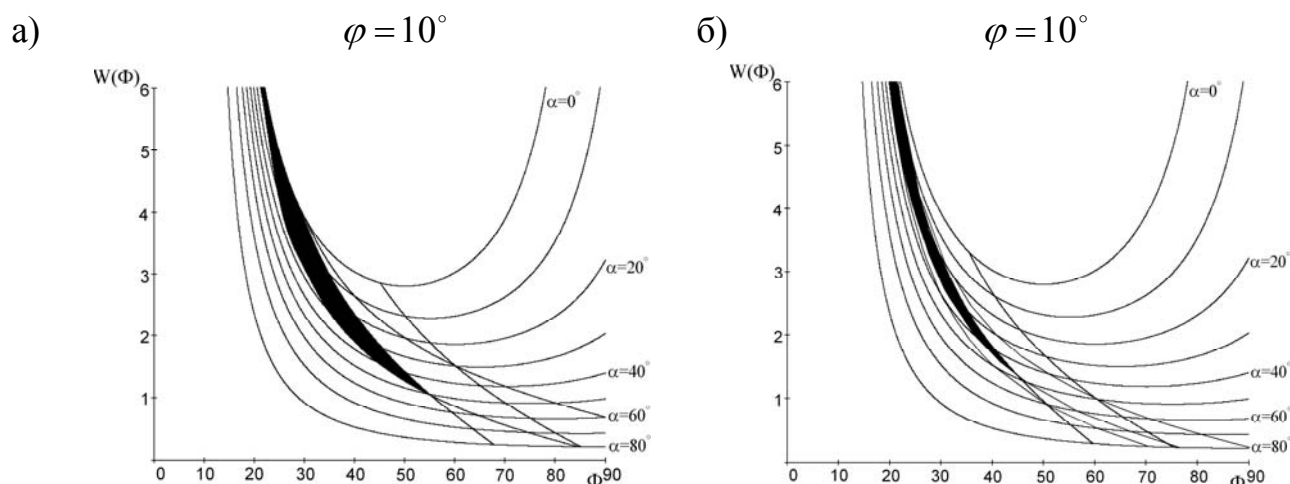


Рис. 15

На рис. 15 показана зависимость объемной плотности диссипации энергии  $W(\Phi) = |W_1(\Phi)| + |W_2(\Phi)|$  для различных углов  $\alpha$  и коэффициента трения  $\mu$  (рис. 15, а:  $\mu = 0$ ; рис. 15, б:  $\mu = 0.35$ ). Закрашенный участок на рис. 15 представляет собой область существования полного решения.

Для выбора предпочтительного решения предполагается, что величина  $W(\Phi)$  в области существования полного решения имеет наименьшее значение, которое достигается тогда, когда свободная поверхность в области  $MST$  совпадает со свободной поверхностью материала; при этом угол  $\Phi$  определяется из уравнений:

$$\frac{(1 + \sin \varphi)(\operatorname{tg}(\Phi + \lambda - \alpha) + \operatorname{tg} \varphi)}{\cos \varphi - \sin \varphi \cdot \operatorname{tg}(\Phi + \lambda - \alpha)} + 1 = \frac{1}{\sin \varphi} \left( 1 - \frac{1 - \sin \varphi}{1 + \sin \varphi} e^{2 \operatorname{tg} \varphi (\Phi - \delta)} \right), \quad \Phi \leq \delta,$$

$$\frac{(1 + \sin \varphi)(\operatorname{tg}(\Phi + \lambda - \alpha) + \operatorname{tg} \varphi)}{\cos \varphi - \sin \varphi \cdot \operatorname{tg}(\Phi + \lambda - \alpha)} + 1 = \frac{2(1 - \sin(\delta - \Phi - 2\theta))}{1 + \sin^2 \varphi - 2 \sin \varphi \cdot \sin(\delta - \Phi - 2\theta)}, \quad \Phi \geq \delta,$$

где  $2\theta = \arcsin(\sin \varphi \cdot \cos(\delta - \Phi)) + \pi$ ,  $\lambda = \operatorname{arctg} \mu$ .

На рис. 16 ( $\varphi = 10^\circ$ ) представлено распределение поля деформаций для случая, когда  $W(\Phi)$  минимально.

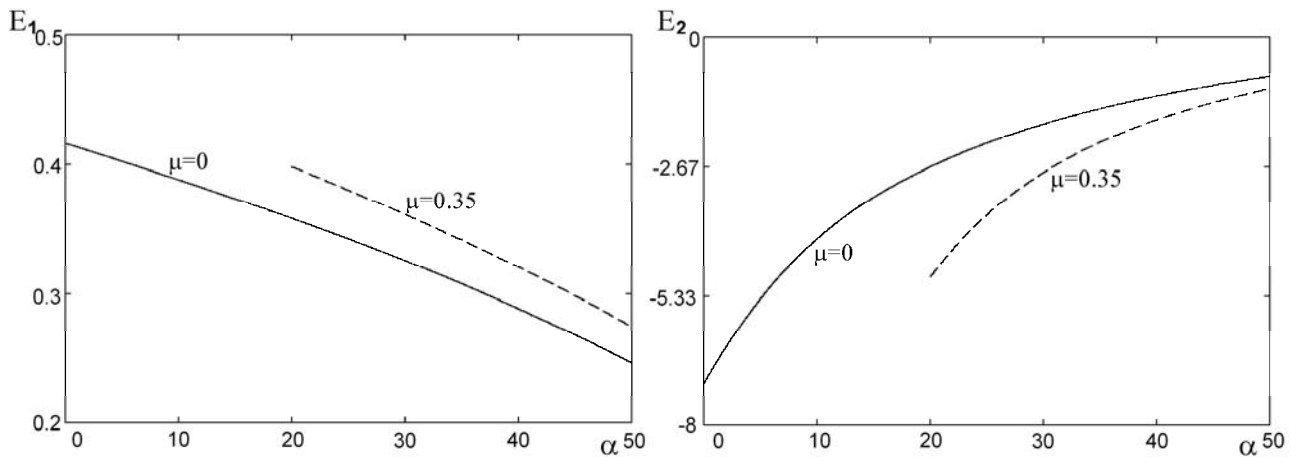


Рис. 16

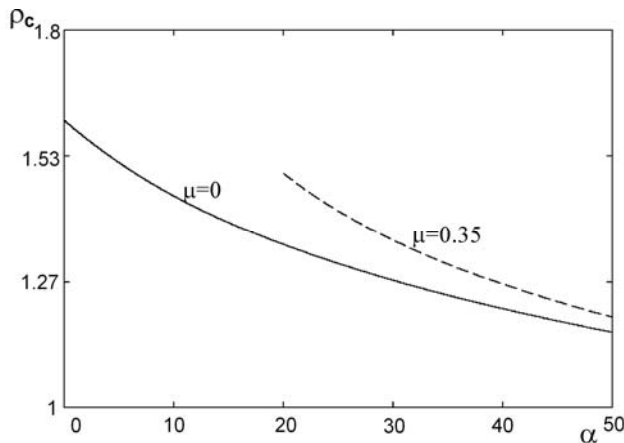


Рис. 17

На рис. 17 представлен график изменения плотности материала  $\rho_c$  в стружке для  $\varphi = 10^\circ$ .

Сила, необходимая для резания, определяется величиной:

$$F_c = \frac{k \cdot t_1 \cdot \cos(\lambda - \alpha)}{\sin \Phi \cdot \cos(\Phi + \lambda - \alpha - \varphi)},$$

где  $t_1$  – толщина срезаемого слоя.

## ОСНОВНЫЕ РЕЗУЛЬТАТЫ ДИССЕРТАЦИИ

1. Получены необходимые и достаточные условия существования локального продолжения поля напряжений в окрестности жесткопластической границы при условии пластичности Кулона – Мора.

2. Обобщен метод определения деформаций в окрестности особенностей поля линий скольжения (линия разрыва поля скоростей перемещения и в центре веера характеристик) с учетом необратимой сжимаемости.

3. Получены поля деформаций в окрестности особенностей поля линий скольжения в задачах о внедрении клина в жесткопластическое полупространство, раздавливании бесконечного и усеченного клина гладким плоским штампом, волочении полосы сквозь короткую матрицу, выглаживании поверхности клинообразным штампом, прессовании и прошивки материала.

4. Решена задача о резании жесткопластических тел с учетом необратимой сжимаемости. Предлагается решение, минимизирующее объемные плотности энергии сдвиговых и объемных деформаций, получаемой частицей материала при пересечении изолированной линии скольжения.

#### ПУБЛИКАЦИИ ПО ТЕМЕ ДИССЕРТАЦИИ

1. Хромов А.И., Анисимов А.Н. Внедрение шероховатого клинообразного штампа в сыпучую среду // Обзорение прикладной и промышленной математики. 2003. Т. 10. Вып. 2. С. 520-522.

2. Анисимов А.Н., Хромов А.И. Внедрение клина в полупространство при условии текучести Кулона–Мора // Вестник СамГТУ. 2007. № 1(14). С. 44-50.

3. Анисимов А.Н. Об учете необратимой сжимаемости материала при волочении полосы сквозь короткую матрицу // Вестник ЧГПУ им. И.Я. Яковлева. 2007. № 3. С. 19-31.

4. Анисимов А. Н. Определение деформаций при движении клинообразного штампа вдоль жесткопластической поверхности // Обзорение прикладной и промышленной математики. 2008. Т. 15. Вып. 5. С. 852-853.

5. Анисимов А.Н., Хромов А.И. Выглаживание жесткопластической поверхности клинообразным штампом при условии текучести Кулона – Мора // ПМТФ. 2010. Т. 51. № 2. С. 176-182.

6. Анисимов А.Н., Хромов А.И. Давление штампа на полуплоскость // 42-ая научно-практическая конференция молодых ученых, аспирантов и студентов «Теоретические и прикладные аспекты решения проблем в сфере гуманитарных и естественных наук»: Сб. докладов. Комсомольск-на-Амуре: КнАГПУ, 2002. С. 106-108.

7. Анисимов А.Н. Сыпучий клин под действием одностороннего давления // Дальневосточная математическая школа-семинар им. академика Е.В. Золотова : [тезисы]. Владивосток: Дальнаука, 2002. С. 69.

8. Хромов А.И., Анисимов А.Н. Условия существования локального продолжения поля напряжений в окрестности жесткопластической границы при условии пластичности Кулона – Мора // Труды Межд. Форума по пробл. науки, техники и образования. М.: Академия наук о Земле, 2002. Т. 2. С. 115-118.

9. Анисимов А.Н., Хромов А.И. О деформациях на поверхности разрыва поля скоростей перемещений // Теоретическая и прикладная механика. Межведомственный сборник научно-методических статей. Вып. 19. Минск: БНТУ, 2005. С. 126-127.

10. Анисимов А.Н. Прессование и прошивка жесткопластического материала при условии текучести Кулона – Мора // В сб.: «Труды шестой Всероссийской конференции с международным участием. Часть 1: Математические модели механики, прочности и надежности элементов конструкций» / Матем. моделирование и краев. задачи. Самара: СамГТУ, 2009. С. 31-34.

*Личный вклад автора.* Работы [3,4,7,10] выполнены автором лично. В работах [1,2,5,6,8,9] в рамках сформулированной научным руководителем проблемы автор получил необходимые для теоретического анализа и численных расчетов соотношения и провел необходимые вычисления.

*Работа выполнена* при финансовой поддержке Федерального агентства по образованию РФ (проект РНП 2.1.1/889 – «Теоретические и экспериментальные исследования влияния диссипативных процессов на механические характеристики и разрушение материалов»).

Анисимов Антон Николаевич

МАТЕМАТИЧЕСКОЕ ОПИСАНИЕ ПОЛЕЙ ДЕФОРМАЦИЙ  
ЖЕСТКОПЛАСТИЧЕСКИХ ТЕЛ ПРИ УСЛОВИИ ПЛАСТИЧНОСТИ  
КУЛОНА – МОРА

Автореферат

Сдано в печать	30.03.2010	Подписано к печати	30.03.2010
Печать офсетная	Бумага тип № 2	Формат 60 x 84	1/16
Усл. печ. л. 1	Уч. - изд. л. 1,8	Тираж 100 экз.	Заказ №

Издательство Амурского гуманитарно-педагогического государственного университета: 681000, Комсомольск-на-Амуре, ул. Кирова, 17, корп. 2.

Отпечатано в типографии издательства Амурского гуманитарно-педагогического государственного университета: 681000, Комсомольск-на-Амуре, ул. Кирова, 17, корп. 2.